

в гравитационном поле, могут длительно кружить вблизи центра тяготения, прежде чем уйти к далекому наблюдателю. Эти лучи создают «ореол» вокруг тела (если его размеры меньше  $1,5 r_g$ ). Несмотря на то, что лучи от ореола кружат вблизи  $r_g$ , яркость ореола экспоненциально быстро затухает. В выражении (3.5.11) «ореол» не учитывается. К этому вопросу мы вернемся в § 6 гл. 11.

## § 6. Потенциальные кривые движения

После выяснения основных особенностей радиального движения перейдем к общему случаю нерадиальных траекторий. Впервые нерадиальные траектории в шварцшильдовском поле исследовал Хаджихара (1931). Полная классификация типов движений имеется, например в книге Богородского (1962): см. также работы Галкина (1961) и Метцнера (1963). Анализ принципиальных вопросов устойчивости при движении по круговым орбитам дан в работе Каплана (1949а).

Траектория частицы всегда лежит в плоскости. Если выбрать плоскость  $\theta = \pi/2$ , то уравнения движения в этой плоскости, записанные в полярных координатах, имеют вид

$$\left(\frac{dx}{d\tau}\right)^2 = \frac{E^2 - 1 + \frac{1}{r} - \frac{a^2}{r^2} + \frac{a^2}{r^3}}{E^2}, \quad (3.6.1a)$$

$$\left(\frac{d\varphi}{d\tau}\right)^2 = \frac{a^2}{E^2 r^4} \left(1 - \frac{1}{r}\right). \quad (3.6.1b)$$

Для удобства уравнения записаны в безразмерных величинах. Здесь  $r$  — шварцшильдовская радиальная координата, измеренная в единицах гравитационного радиуса  $r_g = 2GM/c^2$ ;  $dx = dr/\sqrt{1-1/r}$  — элемент радиального расстояния;  $\tau$  — время, измеряемое локальным наблюдателем в единицах  $r_g/c$ ;  $a$  — момент импульса, измеренный в единицах  $mc r_g$ ,  $E$  — энергия, измеренная в единицах  $mc^2$ ,  $m$  — масса пробной частицы. В энергию включена масса покоя, поэтому для частицы, покоящейся на бесконечности,  $E^2 = 1^*$ ). На расстояниях, больших по сравнению с гравитационным радиусом, т. е. при  $r \gg 1$  и при малой по сравнению с единицей энергией движения:  $E - 1 \ll 1$ , мы получаем из (3.6.1a,b) уравнения кеплеровой задачи в ньютоновской теории тяготения. Действи-

\* Полная энергия частицы  $E$ , сохраняющаяся при движении, выражается через скорость  $v$  и  $g_{00}$  точно так же, как и при радиальном движении. Действительно, из (3.6.1a) и (3.6.1b) находим  $E/mc^2 = \sqrt{g_{00}/(1-v^2/c^2)}$ . Эта формула справедлива для любого статического поля (см. Ландау и Лифшиц, 1967). В сферическом поле сохраняется момент вращения  $a = p_\varphi/mc r_g =$

$$= \frac{E}{mc^2} \frac{v_\varphi}{c} \frac{r}{r_g^{-1/2}}, \quad v_\varphi = r \frac{d\varphi}{d\tau}.$$

тельно, при этих условиях слагаемым  $a^2/r^3$  в (3.6.1а) можно пренебречь,  $dx \approx dr$ ,  $E^2 - 1 \approx 2(E - 1)$ . В этом случае  $1/r$  — потенциал тяготения,  $a^2/r^2$  — потенциал центробежных сил. Равенство нулю числителя в (3.6.1а) дает, очевидно, потенциальную кривую радиального движения при данном  $a$ .

Для ньютоновской теории такая кривая  $E = E(r, a_1)$  для фиксированного ( $a_1$ ) изображена на рис. 9. При любом  $a_1$  кривая имеет минимум. Качественные особенности движения пробной частицы видны на рис. 9. Движение происходит при постоянной энергии  $E_1$  и изображается горизонталью  $E = E_1$ . Частица с момента  $a_1$  перемещается вдоль горизонтали до соответствующей кривой поворота  $E = E(r, a_1)$ , затем движется в обратном направлении снова до пересечения с той же кривой и т. д., совершая финитное движение в «потенциальной яме». В соответствии с тем, что в этом примере выбрана  $E_1 < 1$ , а энергия, как и в ОТО, отсчитывается от  $mc^2$  (от 1 в наших единицах), частица не уходит в бесконечность.

Если энергия частицы  $E_2 > 1$  (см. рис. 9), то она приходит по гиперболе из бесконечности, достигает минимального  $r$ , соответствующего пересечению  $E$  с кривой  $E = E(r, a_1)$  и снова уходит в бесконечность. Так как потенциальные кривые при  $r \rightarrow 0$  стремятся к бесконечности,  $E \rightarrow \infty$  (см. рис. 9), то при любой большой энергии частицы, обогнув притягивающий центр, уйдет снова в бесконечность, разумеется, если она не натолкнется на поверхность притягивающего тела. Гравитационный захват в ньютоновской теории двух точечных тел невозможен.

Обратимся теперь к релятивистской теории, к точному уравнению (3.6.1а). Здесь вид потенциальных кривых иной (рис. 10). Благодаря слагаемому  $a^2/r^3$  потенциальная кривая не поднимается неограниченно вверх, как в ньютоновской теории, а загибается вниз, стремясь к нулю на гравитационном радиусе  $r = 1$ . Одна из таких кривых изображена на рис. 10. Кривая имеет и минимум и максимум.

Движение пробной частицы с  $E_1 < 1$  в потенциальной яме (см. рис. 10) аналогично ньютоновскому движению, разобранному выше. Только, в отличие от ньютоновской теории, орбита частиц не есть замкнутая кривая (подробности см. в книге Богородского, (1962)). В ньютоновской задаче период радиальных колебаний

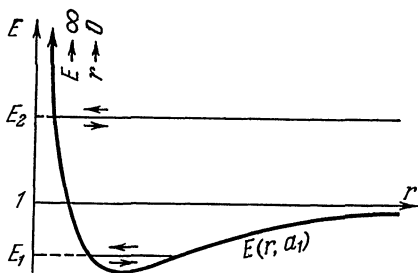


Рис. 9. Потенциальная кривая радиальной составляющей движения в ньютоновской теории при фиксированном моменте  $a_1$ . По вертикали отложена полная энергия, включающая массу покоя частицы, в единицах  $mc^2$ .  $E_1 < 1$  — горизонталь финитного (эллиптического) движения;  $E_2 > 1$  — горизонталь гиперболического движения.

«случайно» равен времени изменения  $\varphi$  на  $2\pi$ , что и означает замкнутость кривой; в ОТО это не так. Знаменитое вековое смещение перигелия Меркурия на  $43''$  в столетие есть проявление этой особенности.

При  $1 < E_2 < E_{\max, a_1}$  (см. рис. 10) горизонталь  $E_2 = \text{const}$  справа уходит в бесконечность, а слева упирается в кривую поворота. В этом случае частица приходит из бесконечности и уходит в бесконечность, аналогично гиперболическому движению в ньютоновской теории.

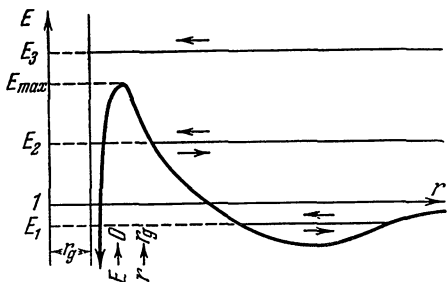


Рис. 10. Потенциальная кривая радиальной составляющей движения в ОТО при фиксированном моменте  $a_1$ .  $E_1 < 1$  — горизонталь финитного движения;  $1 < E_2 < E_{\max}$  — горизонталь гиперболического движения;  $E_3 > E_{\max}$  — частица приближается к гравитационному радиусу и не уходит в бесконечность.

Важной особенностью потенциальной кривой в поле Шварцшильда является наличие максимума. Для частицы с  $E_3 > E_{\max, a_1}$  горизонталь  $E = E_3$  не встречает потенциальной кривой. Такая частица достигает сферы гравитационного радиуса ( $r = 1$  в наших единицах) и не уходит больше в бесконечность. Происходит гравитационный захват частицы. Об этой важ-

ной особенности релятивистской теории подробнее сказано дальше.

Отметим еще следующее любопытное обстоятельство. Если частица имеет энергию лишь немного меньше  $E_{\max}$ , то вблизи точки поворота график правой части в (3.6.1а) подходит к нулю со сколь угодно малым наклоном, т. е. при изменении  $r$  на малую величину  $dr$  частица успевает описать сколь угодно большой угол  $\varphi$ , а значит, вблизи  $r_{\min}$  она может сделать много оборотов, прежде чем снова уйдет на бесконечность. В этом случае вблизи  $r_{\min}$  орбита совсем не похожа на ньютоновскую гиперболу. При  $E = E_{\max}$  траектория будет навиваться на окружность  $r = r_{E_{\max}}$ .

## § 7. Круговые орбиты

Если точка находится в экстремуме кривой  $E(r, a_1)$ , то это означает, что тождественно  $dr \equiv 0$  и частица движется по кругу с  $r = \text{const}$ . Очевидно, что круговое движение в минимуме  $E$  устойчиво: при малом возмущении частица, получив малые изменения  $E$  и  $a_1$ , будет совершать финитное движение (рис. 11), соответствующее  $E = E_{\min} + \delta E_1$  и новой кривой поворота  $E = E(r, a_1 + \delta a_1)$ . Новая траектория мало отличается от прежней окружности.

Движение по окружности  $r_{E_{\max}}$  в максимуме кривой  $E$  неустойчиво; теперь малое возмущение заставит частицу уйти в бесконеч-